

Capítulo 7

INTEGRAIS

7.1 Integrais sobre Trajetórias

Sejam $f : A \subset \mathbb{R}^n \rightarrow \mathbb{R}$ e $\gamma : [a, b] \rightarrow \mathbb{R}^n$ uma parametrização da curva C de classe C^1 , tal que $\gamma([a, b]) \subset A$ e:

$$f \circ \gamma : [a, b] \rightarrow \mathbb{R}$$

é uma função contínua.

Definição 7.1. A integral de f ao longo de C é denotada e definida por:

$$\int_C f = \int_a^b f(\gamma(t)) \|\gamma'(t)\| dt.$$

Observação 7.1. Esta integral é a generalização natural do comprimento de arco para curvas. De fato, por exemplo em \mathbb{R}^3 , se $f(x, y, z) = 1$ para todo (x, y, z) , a integral de linha é o comprimento de arco da curva C .

$$\int_C 1 = \int_a^b \|\gamma'(t)\| dt.$$

Proposição 7.1. A definição de integral é válida se γ é C^1 por partes ou $f \circ \gamma$ é contínua por partes.

Prova: De fato, subdividamos o intervalo original num número finito de subintervalos fechados tal que $f(\gamma) \|\gamma'\|$ é uma função contínua em cada subintervalo. Consideremos $a = t_0 < t_1 < \dots < t_n = b$ a partição tal que γ_i é a restrição de γ ao subintervalo $I_i = [t_i, t_{i+1}]$.

■

Proposição 7.2. Sejam $f : \mathbb{R}^n \rightarrow \mathbb{R}$ e C uma curva. Se $C = C_1 \cup C_2 \cup \dots \cup C_n$ e cada $C_i = \gamma_i(I_i)$ é classe C^1 , $1 \leq i \leq n$. Então:

$$\int_C f = \int_{C_1} f + \int_{C_2} f + \dots + \int_{C_n} f.$$

Prova: Exercício. ■

Exemplo 7.1.

[1] Calcule $\int_\gamma f$ se $\gamma(t) = (t, 3t, 2t)$ tal que $t \in [1, 3]$ e $f(x, y, z) = yz$.

Como $f(\gamma(t)) = f(t, 3t, 2t) = 6t^2$, $\gamma'(t) = (1, 3, 2)$ e $\|\gamma'(t)\| = \sqrt{14}$, logo:

$$\int_\gamma f = 6\sqrt{14} \int_1^3 t^2 dt = 52\sqrt{14}.$$

[2] Calcule $\int_\gamma f$ se $\gamma(t) = (1, 2, t^2)$ tal que $t \in [0, 1]$ e $f(x, y, z) = e^{\sqrt{z}}$.

Como $f(\gamma(t)) = f(1, 2, t^2) = e^t$, $\gamma'(t) = (0, 0, 2t)$ e $\|\gamma'(t)\| = 2t$; logo:

$$\int_\gamma f = 2 \int_0^1 t e^t dt = 2.$$

[3] Calcule $\int_\gamma f$, onde γ é a hélice parametrizada por $\gamma(t) = (a \cos(t), a \sin(t), at)$ tal que $t \in [0, 4\pi]$, ($a > 0$) e $f(x, y, z) = e^{x^2+y^2+z-a^2}$.

Como $f(\gamma(t)) = f(a \cos(t), a \sin(t), at) = e^{at}$, $\gamma'(t) = (-a \sin(t), a \cos(t), a)$ e $\|\gamma'(t)\| = a\sqrt{2}$; logo:

$$\int_\gamma f = a\sqrt{2} \int_0^{4\pi} e^{at} dt = \sqrt{2}(e^{4a\pi} - 1).$$

Se consideramos a hélice como um arame e f como densidade de massa; então, a massa total do arame é $\sqrt{2}(e^{4a\pi} - 1)$.

7.1.1 Aplicação

Sejam C uma curva plana parametrizada por γ , $f : \mathbb{R}^2 \rightarrow \mathbb{R}$ uma função tal que $f \circ \gamma$ é contínua e $f(x, y) \geq 0$, para todo (x, y) .

A integral de f ao longo de γ representa a área da "cerca" de base C e altura $(f \circ \gamma)(t)$, em cada $\gamma(t) = (x(t), y(t))$.

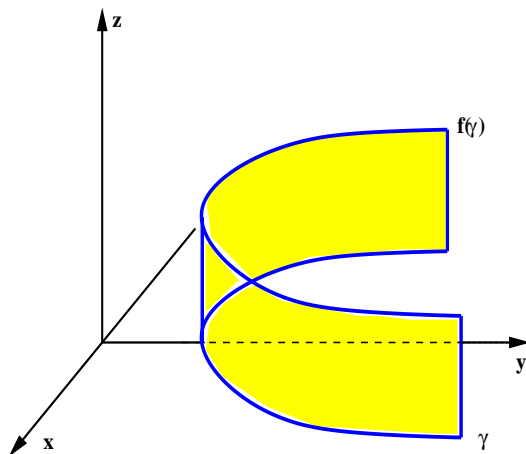


Figura 7.1: "Cerca" de base C

Exemplo 7.2. Calcule $\int_{\gamma} f$ se $\gamma(t) = (t^2, t^3)$ tal que $t \in [0, 1]$ e $f(x, y) = 1 + x^3 - y^2$.

Como $f(\gamma(t)) = f(t^2, t^3) = 1$, $\gamma'(t) = (2t, 3t^2)$ e $\|\gamma'(t)\| = t\sqrt{4 + 9t^2}$, logo:

$$\int_{\gamma} f = \int_0^1 t\sqrt{4 + 9t^2} dt = \frac{1}{18} \int_4^{13} \sqrt{u} du = \frac{13\sqrt{13} - 8}{27}.$$

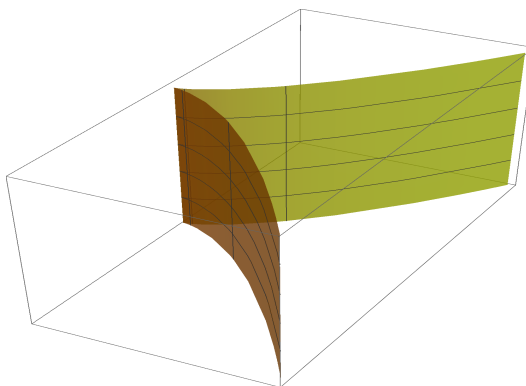


Figura 7.2: Exemplo [1]

7.2 Integrais de Linha de Campos de Vetores

Em Física, o trabalho realizado por uma força constante F para deslocar uma partícula ao longo de um segmento de reta entre os pontos A e B é definido como o produto da força pelo deslocamento na direção da força. Denotando por $W(F)$ o trabalho realizado, temos:

$$W(F) = F \cdot \overrightarrow{AB}$$

Suponhamos que a trajetória de uma partícula seja o traço da curva $\gamma : [a, b] \rightarrow \mathbb{R}^3$, de classe C^1 (não necessariamente um segmento de reta) e F um campo de vetores contínuo. Consideremos a seguinte partição de ordem n de $[a, b]$:

$$a = t_0 < t_1 < \dots < t_{n-1} < t_n = b$$

e construamos a poligonal de vértices $\gamma_i = \gamma(t_i)$, $i = 0, 1, 2, \dots, n$.

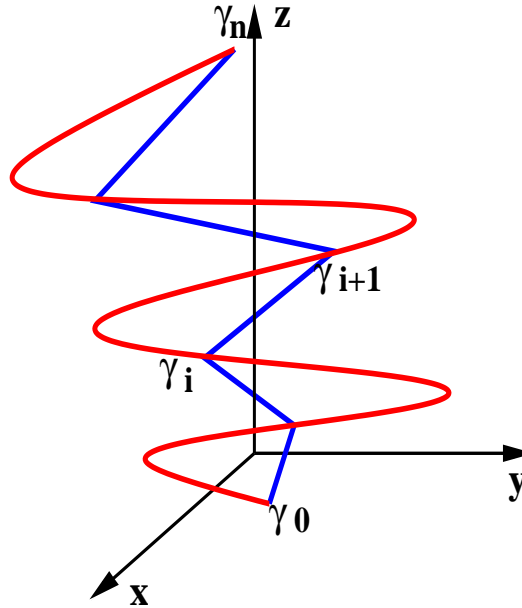


Figura 7.3:

Se n é grande ($n \rightarrow +\infty$), a poligonal aproxima-se da curva $C = \gamma(I)$, $\Delta t_i = t_{i+1} - t_i$ é pequeno e o deslocamento da partícula de γ_i até γ_{i+1} é aproximado pelo vetor:

$$\vec{v}_i = \gamma_{i+1} - \gamma_i.$$

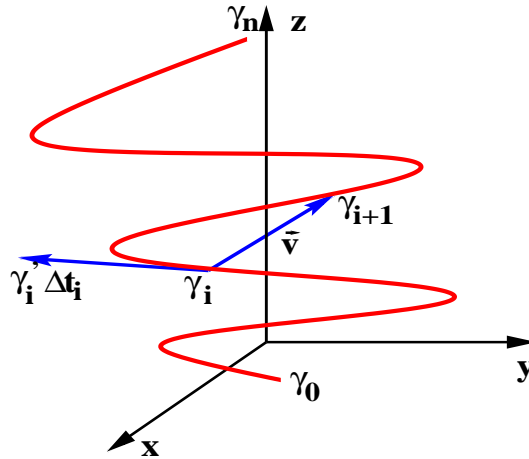


Figura 7.4:

Para n grande, da definição de vetor tangente:

$$\vec{v}_i \cong \gamma'_i \Delta t_i.$$

Por outro lado, $F(\gamma(t))$ é quase constante no intervalo $[t_i, t_{i+1}]$ e:

$$F(\gamma_i) \cdot \vec{v}_i \cong F(\gamma_i) \cdot \gamma'_i \Delta t_i.$$

A soma de Riemann:

$$W_n(F) = \sum_{i=1}^n F(\gamma_i) \cdot \gamma'_i \Delta t_i$$

é uma boa aproximação do trabalho total realizado pela força F para deslocar a partícula; então, é natural definir o trabalho realizado por F para deslocar a partícula ao longo de C de $\gamma(a) = A$ até $\gamma(b) = B$ por:

$$W(F) = \lim_{|\Delta t_i| \rightarrow 0} \sum_{i=1}^n F(\gamma_i) \cdot \gamma'_i \Delta t_i,$$

que é a integral de Riemann da função contínua $(F \circ \gamma)(t)$ no intervalo $[a, b]$; então:

$$W(F) = \int_a^b F(\gamma(t)) \cdot \gamma'(t) dt,$$

se o limite existe. É possível provar que se o limite existe, independe da escolha da partição e da parametrização.

7.3 Definição da Integrais de Linha

Sejam $F : A \subset \mathbb{R}^n \longrightarrow \mathbb{R}^n$ um campo de vetores contínuo e $\gamma : [a, b] \longrightarrow \mathbb{R}^n$ uma parametrização da curva C , de classe C^1 , tal que $\gamma([a, b]) \subset A$ e:

$$F \circ \gamma : [a, b] \longrightarrow \mathbb{R}^n$$

seja uma função contínua.

Definição 7.2. A integral de linha do campo de vetores F ao longo da curva C é denotada e definida por:

$$\int_C F = \int_a^b F(\gamma(t)) \cdot \gamma'(t) dt$$

onde $F(\gamma(t)) \cdot \gamma'(t)$ é o produto escalar em \mathbb{R}^n dos vetores $F(\gamma(t))$ e $\gamma'(t)$.

Observação 7.1.

1. A definição é válida se $F \circ \gamma$ é contínua por partes.
2. A integral de linha de F ao longo de C poder ser calculada como uma integral de trajetória para uma f apropriada. De fato, seja $\vec{T}(t)$ o vetor tangente unitário a $\gamma(t)$, que suporemos não nulo para todo t ; então:

$$f(\gamma(t)) = F(\gamma(t)) \cdot \vec{T}(t) = F(\gamma(t)) \cdot \frac{\gamma'(t)}{\|\gamma'(t)\|},$$

que é a componente de F tangente à curva, ou equivalentemente, a componente de F é a projeção de F sobre o vetor tangente unitário à curva; logo:

$$\int_C F = \int_a^b \left(F(\gamma(t)) \cdot \frac{\gamma'(t)}{\|\gamma'(t)\|} \right) \|\gamma'(t)\| dt.$$

7.4 Notações

É comum usar as seguintes notações:

7.4.1 No Espaço

Sejam F_1 , F_2 e F_3 as componentes do campo F e a curva $\gamma(t) = (x(t), y(t), z(t))$, de classe C^1 ; então:

$$F(\gamma(t)) \cdot \gamma'(t) = F_1(\gamma(t)) \frac{dx}{dt} + F_2(\gamma(t)) \frac{dy}{dt} + F_3(\gamma(t)) \frac{dz}{dt};$$

logo, escrevemos:

$$\int_C F = \int_C F_1 dx + F_2 dy + F_3 dz = \int_a^b F_1(t) dx + F_2(t) dy + F_3(t) dz$$

7.4.2 No Plano

De forma análoga, escrevemos:

$$\int_C F = \int_C F_1 dx + F_2 dy$$

7.4.3 Curvas Fechadas

Se $\gamma : [a, b] \rightarrow \mathbb{R}^n$ é uma parametrização de uma curva fechada, é comum denotar a integral de linha de um campo F ao longo de γ como:

$$\oint_C F$$

Observação 7.2. Em Eletromagnetismo, $\oint_C F$ é chamada de circulação do campo F ao longo da curva C .

Exemplo 7.3.

[1] Calcule $\int_C F$, onde $F(x, y) = (x^2, xy)$ e C é a curva definida por $x = y^2$, que liga os pontos $(1, -1)$ e $(1, 1)$.

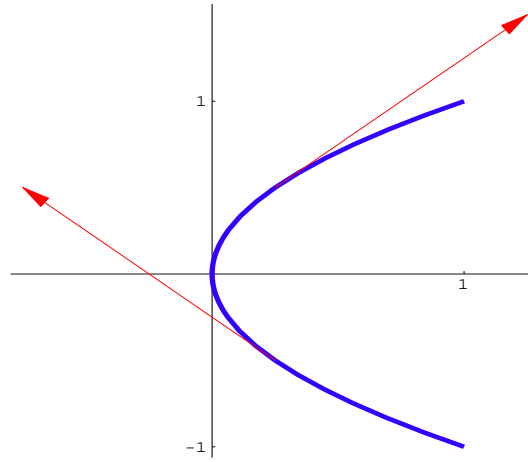


Figura 7.5: Exemplo [1]

Primeiramente, parametrizamos a parábola C por $\gamma(t) = (t^2, t)$, $-1 \leq t \leq 1$; logo:

$$\gamma'(t) = (2t, 1).$$

O campo é $F(x, y) = (x^2, xy)$.

Podemos resolver o exercício de duas formas, totalmente equivalentes:

1. Seguindo a definição.

(a) $F(\gamma(t)) = F(t^2, t) = (t^4, t^3).$

(b) $F(\gamma(t)) \cdot \gamma'(t) = F(t^2, t) \cdot \gamma'(t) = (t^4, t^3) \cdot (2t, 1) = 2t^5 + t^3.$

(c) Finalmente:

$$\int_C F = \int_{-1}^1 F(\gamma(t)) \cdot \gamma'(t) dt = \int_{-1}^1 [2t^5 + t^3] dt = 0.$$

2. Se escrevemos:

$$\int_C F = \int_C x^2 dx + x y dy.$$

(a) Seja $F = (F_1, F_2)$, onde $F_1(x, y) = x^2$ e $F_2(x, y) = x y$, então:

$$\int_C F = \int_C F_1 dx + F_2 dy = \int_C x^2 dx + x y dy.$$

(b) A parametrização da parábola C é $\gamma(t) = (t^2, t)$, $-1 \leq t \leq 1$; logo:

$$\begin{cases} x = t^2 \\ y = t \end{cases} \implies \begin{cases} dx = 2t dt \\ dy = dt, \end{cases}$$

então:

$$\begin{cases} F_1 dx = x^2 dx = t^4 (2t dt) = 2t^5 dt \\ F_2 dy = x y dy = t^3 dt, \end{cases}$$

logo:

$$\int_C F = \int_C x^2 dx + x y dy = \int_{-1}^1 (2t^5 + t^3) dt = 0.$$

[2] Calcule $\int_C F$ se C é um arco de círculo de raio 1, do ponto $(1, 0)$ até $(\frac{\sqrt{3}}{2}, \frac{1}{2})$ e

$$F(x, y) = \left(\frac{-y}{x^2 + y^2}, \frac{x}{x^2 + y^2} \right).$$

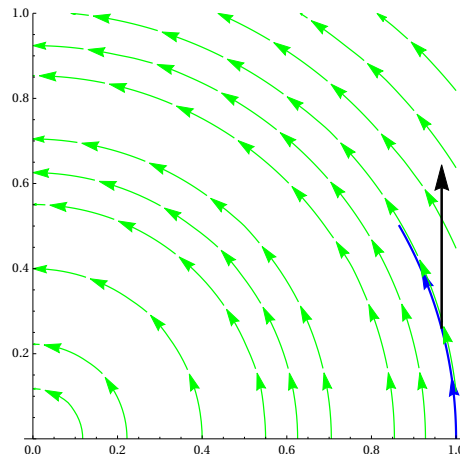


Figura 7.6: A curva, o campo e o vetor tangente

Analogamente, ao exercício anterior. Parametrizemos o segmento de círculo:

$$\begin{cases} x = \cos(t) \\ y = \sin(t), \end{cases}$$

para determinar o domínio, resolvemos os sistemas:

$$\begin{cases} \cos(t) = 1 \\ \sin(t) = 0 \end{cases} \quad \text{e} \quad \begin{cases} \cos(t) = \frac{\sqrt{3}}{2} \\ \sin(t) = \frac{1}{2} \end{cases} \implies 0 \leq t \leq \frac{\pi}{6}.$$

O vetor tangente é $\gamma'(t) = (-\sin(t), \cos(t))$ e campo é: $F(x, y) = \left(\frac{-y}{x^2 + y^2}, \frac{x}{x^2 + y^2} \right)$

1. Seguindo a definição de integral de linha.

(a) $F(\gamma(t)) = F(\cos(t), \sin(t)) = (-\sin(t), \cos(t)).$

(b) $F(\gamma(t)) \cdot \gamma'(t) = (-\sin(t), \cos(t)) \cdot (-\sin(t), \cos(t)) = 1.$

(c) Finalmente:

$$\int_C F = \int_0^{\pi/6} F(\gamma(t)) \cdot \gamma'(t) dt = \int_0^{\pi/6} dt = \frac{\pi}{6}.$$

2. Se escrevemos:

$$\int_C F = \int_C F_1 dx + F_2 dy = \int_C -\frac{y}{x^2 + y^2} dx + \frac{x}{x^2 + y^2} dy.$$

(a) A parametrização do círculo de raio 1, é $\gamma(t) = (\cos(t), \sin(t), 0 \leq t \leq \frac{\pi}{6}$; logo:

$$\begin{cases} x = \cos(t) \\ y = \sin(t) \end{cases} \implies \begin{cases} dx = -\sin(t) dt \\ dy = \cos(t) dt \end{cases}$$

(b) Como $F_1 = -\frac{y}{x^2 + y^2}$ e $F_2 = \frac{x}{x^2 + y^2}$, logo:

$$\begin{cases} F_1 dx = -\frac{y}{x^2 + y^2} dx = \sin^2(t) dt \\ F_2 dy = \frac{x}{x^2 + y^2} dy = \cos^2(t) dt. \end{cases}$$

(c) Finalmente:

$$\int_C F = \int_C F_1 dx + F_2 dy = \int_C -\frac{y}{x^2 + y^2} dx + \frac{x}{x^2 + y^2} dy = \int_0^{\pi/6} dt = \frac{\pi}{6}.$$

[3] Calcule $\int_C \cos(z) dx + e^x dy + e^y dz$, se C é dada por:

$$\gamma(t) = (1, t, e^t), \quad 0 \leq t \leq 2.$$

Observe que:

$$\begin{cases} x = 1 \\ y = t \\ z = e^t. \end{cases} \implies \begin{cases} dx = 0 \\ dy = dt \\ dz = e^t dt \end{cases} \implies \begin{cases} \cos(z) dx &= 0 \\ e^x dy &= e dt \\ e^y dz &= e^t e^t dt, \end{cases}$$

Logo:

$$\begin{aligned}
\int_C \cos(z) dx + e^x dy + e^y dz &= \int_0^2 0 dt + \int_0^2 e dt + \int_0^2 e^t (e^t dt) \\
&= \int_0^2 [e + e^{2t}] dt = 2e + \frac{e^4}{2} - \frac{1}{2}.
\end{aligned}$$

[4] Calcule $\int_C \sin(z) dx + \cos(z) dy - \sqrt[3]{xy} dz$, onde C é a curva parametrizada por:

$$\gamma(t) = (\cos^3(t), \sin^3(t), t), \quad 0 \leq t \leq \frac{7\pi}{2}.$$

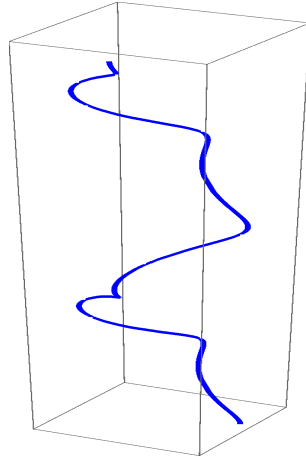


Figura 7.7: γ do exemplo [4]

Observe que, o vetor tangente é:

$$\gamma'(t) = (-3 \sin(t) \cos^2(t), 3 \cos(t) \sin^2(t), 1)$$

e o campo é $F(x, y, z) = (\sin(z), \cos(z), -\sqrt[3]{xy})$, logo:

$$F(\gamma(t)) = F(\cos^3(t), \sin^3(t), t) = (\sin(t), \cos(t), -\sin(t) \cos(t)).$$

Por outro lado: $F(\gamma(t)) \cdot \gamma'(t) = -\cos(t) \sin(t)$, então:

$$\int_C \sin(z) dx + \cos(z) dy - \sqrt[3]{xy} dz = - \int_0^{\frac{7\pi}{2}} [\cos(t) \sin(t)] dt = -\frac{1}{2}.$$

[5] Calcule $\int_C x^2 dx + x y dy + dz$, se C é dada por $\gamma(t) = (t, t^2, 1)$, $0 \leq t \leq 1$.

Observe que:

$$\begin{cases} x = t \\ y = t^2 \\ z = 1. \end{cases} \implies \begin{cases} dx = dt \\ dy = 2t dt \\ dz = 0 \end{cases} \implies \begin{cases} x^2 dx = t^2 dt \\ x y dy = t^3 (2t dt) \\ dz = 0 \end{cases}$$

$$\begin{aligned} \int_C x^2 dx + x y dy + dz &= \int_0^1 t^2 dt + \int_0^1 t^3 (2t dt) + \int_0^1 0 dz \\ &= \int_0^1 [t^2 + 2t^4] dt = \frac{11}{15}. \end{aligned}$$

7.5 Integrais de Linha e Reparametrizações

Seja C uma curva com parametrização $\gamma : [a, b] \longrightarrow \mathbb{R}^n$ de classe C^1 e $\beta : [c, d] \longrightarrow \mathbb{R}^n$ uma reparametrização de classe C^1 da curva C . Então, existe:

$$h : [c, d] \longrightarrow [a, b]$$

bijectiva de classe C^1 , tal que:

$$\beta = \gamma \circ h$$

Onde, h pode ser crescente, $h(c) = a$ e $h(d) = b$ ou h pode ser decrescente, $h(d) = a$ e $h(c) = b$.

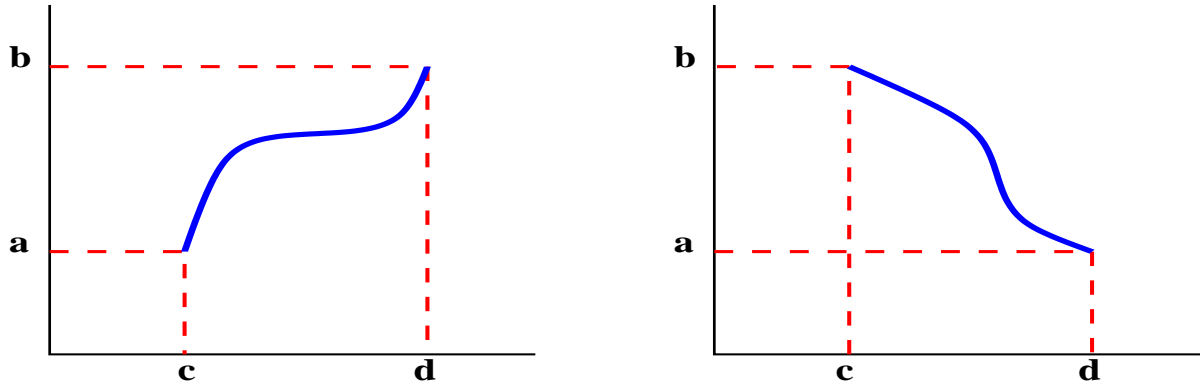


Figura 7.8: h crescente e decrescente, respectivamente

Definição 7.3.

1. Se h é crescente, então dizemos que β **preserva a orientação**.
2. Se h é decrescente, então dizemos que β **inverte a orientação**.

Observação 7.2.

1. Uma reparametrização preserva orientação, se uma partícula que percorre uma trajetória com a parametrização γ , move-se na mesma direção que a partícula que percorre a trajetória com a parametrização β .
2. Uma reparametrização inverte orientação, se uma partícula que percorre uma trajetória com a parametrização γ , move-se na direção contrária à da partícula que percorre a trajetória com a parametrização β .

Definição 7.4. Sejam $\gamma : [a, b] \rightarrow \mathbb{R}^n$ uma parametrização diferenciável da curva C ligando o ponto $\gamma(a)$ ao ponto $\gamma(b)$ e $h : [a, b] \rightarrow [a, b]$ tal que:

$$h(t) = a + b - t;$$

denotamos e definamos a curva C^- pela parametrização $\gamma^- : [a, b] \rightarrow \mathbb{R}^n$ tal que:

$$\gamma^-(t) = \gamma(a + b - t).$$

Observação 7.3.

1. A função h é de classe C^k , $k \geq 0$ e é decrescente, pois $h(a) = b$ e $h(b) = a$.
2. C^- é a curva que liga $\gamma(b)$ a $\gamma(a)$.
3. $\gamma^- = \gamma \circ h$ inverte orientação.
4. γ e γ^- têm o mesmo traço, mas são percorridas em sentidos opostos.
5. Denotamos por C^+ e γ^+ , quando a reparametrização preserva a orientação.

No plano:

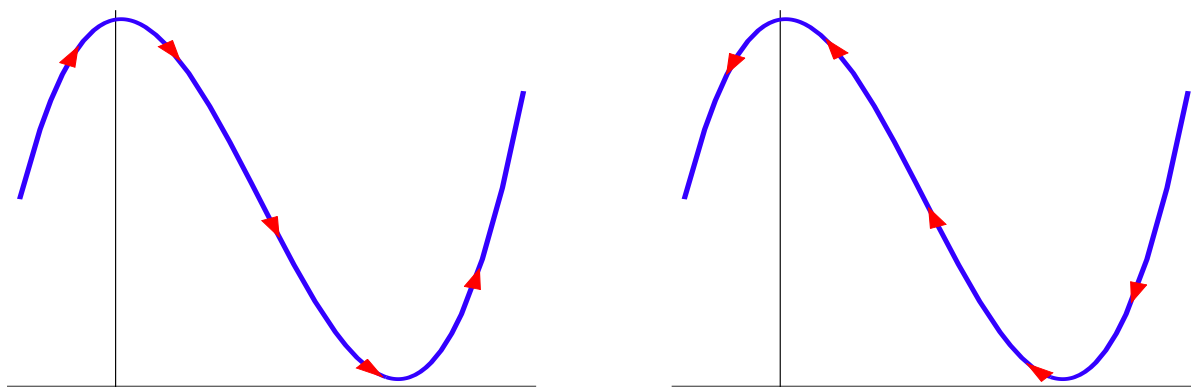


Figura 7.9: Gráficos de C^+ e C^- , respectivamente

No espaço:

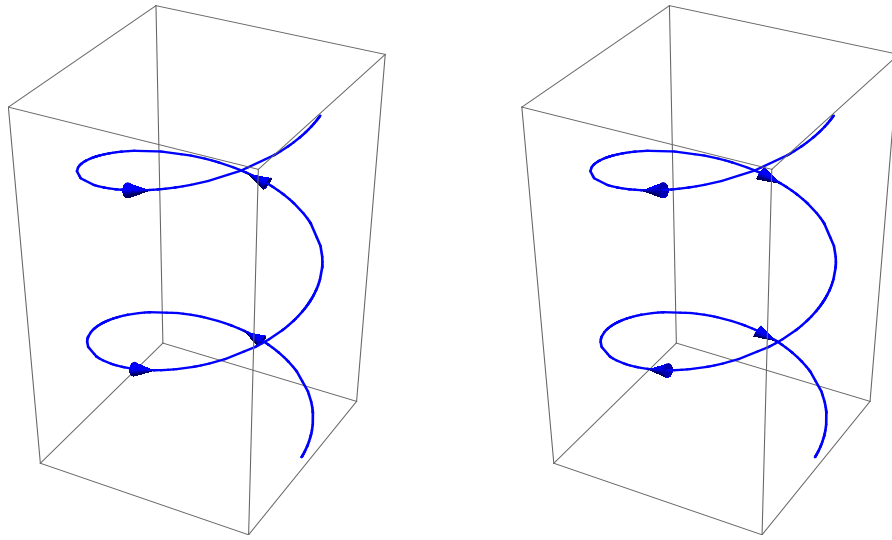


Figura 7.10: Gráficos de C^+ e C^- , respectivamente

Exemplo 7.4.

[1] Seja C o segmento de reta ligando a origem e o ponto $(1, 1)$; então C pode ser parametrizado por:

$$\gamma : [0, 1] \longrightarrow \mathbb{R}^2 \quad \text{tal que} \quad \gamma(t) = (t, t).$$

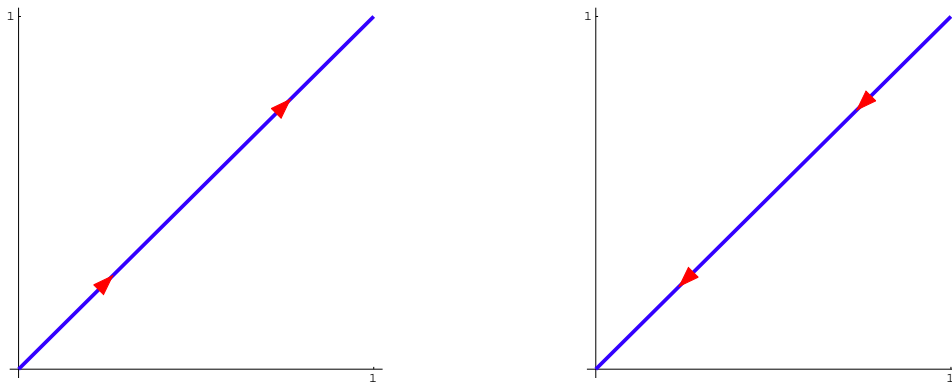
Fazendo $h(t) = 1 - t$ é uma função de classe C^k , $k \geq 0$, decrescente em $[0, 1]$, então:

$$\gamma^-(t) = \gamma(h(t)) = \gamma(1 - t) = (1 - t, 1 - t), \quad t \in [0, 1].$$

Note que $\gamma^-(0) = (1, 1)$ e $\gamma^-(1) = (0, 0)$ e:

$$\gamma^- : [0, 1] \longrightarrow \mathbb{R}^2$$

tal que $\gamma^-([0, 1]) = \gamma([0, 1])$.

Figura 7.11: Gráficos de C^+ e C^- , respectivamente

[2] Seja C o círculo unitário; então C pode ser parametrizado por:

$$\gamma(t) = (\cos(t), \sin(t)), \quad t \in [0, 2\pi].$$

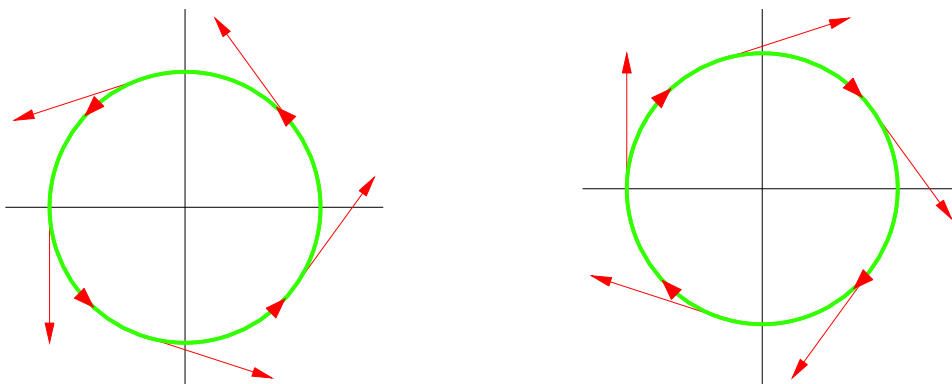
Seja $h : [0, 2\pi] \rightarrow [0, 2\pi]$ definida por $h(t) = 2\pi - t$, logo $h(0) = 2\pi$ e $h(2\pi) = 0$. A função h é de classe C^k , $k \geq 0$, decrescente, então:

$$\gamma^-(t) = \gamma(h(t)) = \gamma(2\pi - t, 2\pi - t) = (\cos(2\pi - t), \sin(2\pi - t)) = (\cos(t), -\sin(t)).$$

Note que os tangente tem direção opostas. De fato:

$$\gamma'(t) = (-\sin(t), \cos(t)) \quad \text{e} \quad \gamma^{-'}(t) = (-\sin(t), -\cos(t)).$$

Note que $\gamma^-([0, 2\pi]) = \gamma([0, 2\pi])$.

Figura 7.12: Gráficos de C^+ e C^- , respectivamente

Definição 7.5. A escolha de um sentido para o vetor tangente a uma curva é chamada **orientação** da curva.

Observação 7.3.

1. Logo, toda curva diferenciável tem duas possíveis orientações.
2. Seja C uma curva diferenciável parametrizada por $\gamma = \gamma(t)$, $t \in [a, b]$. Podemos definir o campo (contínuo) tangente unitário, por:

$$T(p) = \frac{\gamma'(t_0)}{\|\gamma'(t_0)\|},$$

onde $\gamma(t_0) = p$, $t_0 \in (a, b)$ e tal que $\lim_{t_0 \rightarrow a^+} T(p)$ e $\lim_{t_0 \rightarrow b^-} T(p)$ existem.

3. No caso de uma curva fechada, estes limites devem ser iguais.
4. $-T$ também é uma orientação de C ; por continuidade, temos que uma curva possui duas orientações possíveis.
5. As mudanças de orientação são refletidas na integral de linha.

Teorema 7.1. Sejam F um campo de vetores, C uma curva de classe C^1 com parametrização γ tal que $F \circ \gamma$ é contínua e β uma reparametrização de C .

1. Se β é uma reparametrização que preserva orientação e $\beta(I) = L$, então:

$$\int_C F = \int_L F$$

2. Se β é uma reparametrização que inverte orientação e $\beta(I) = L$, então:

$$\int_C F = - \int_L F$$

Em particular:

$$\int_C F = - \int_{C^-} F$$

Prova: Por hipótese, existe h tal que $\gamma = \sigma \circ h$; então $\gamma'(t) = \sigma'(h(t)) \cdot h'(t)$. Logo:

$$\int_C F = \int_a^b F(\gamma(t)) \cdot \gamma'(t) dt = \int_a^b (F(\sigma(h(t))) \cdot \sigma'(h(t))) h'(t) dt;$$

fazendo a mudança de variáveis $s = h(t)$, temos:

$$\int_C F = \int_{h(a)}^{h(b)} (F(\sigma(s)) \cdot \sigma'(s)) ds.$$

Dependendo de h preservar ou inverter a orientação, provamos o teorema. ■

Observação 7.4. Logo, a integral de linha depende do campo e da parametrização da curva.

Proposição 7.3.

1. **Linearidade:** Sejam $a, b \in \mathbb{R}$, F, G campos de vetores contínuos e C uma curva de classe C^1 ; então:

$$\int_C aF + bG = a \int_C F + b \int_C G$$

2. **Aditividade:** Se C admite uma decomposição em n curvas C_i tais que, cada C_i é de classe C^1 , $i = 1 \dots n$ e $C = C_1 \cup C_2 \cup \dots \cup C_n$ então:

$$\int_C F = \sum_{i=1}^n \int_{C_i} F = \int_{C_1} F + \int_{C_2} F + \dots + \int_{C_n} F.$$

Prova: Segue da definição de integral de linha. ■

Observação 7.5. A seguir, um **teorema fundamental das integrais de linha**.

Teorema 7.2. Seja F um campo conservativo com potencial f , de classe C^1 e C uma curva de classe C^1 que liga os pontos P e Q ; então:

$$\int_C F = f(Q) - f(P)$$

Prova: Seja γ uma parametrização de classe C^1 de C tal que $\gamma(a) = P$, $\gamma(b) = Q$ e $H(t) = f(\gamma(t))$; pela regra da cadeia, $H'(t) = \nabla f(\gamma(t)) \cdot \gamma'(t)$. Utilizando o teorema fundamental do cálculo:

$$\int_C F = \int_a^b \nabla f(\gamma(t)) \cdot \gamma'(t) dt = \int_a^b H'(t) dt = H(b) - H(a) = f(Q) - f(P).$$

■

Observação 7.6. A integral dos campos conservativos não depende da curva que liga os pontos P e Q , somente depende dos pontos P e Q .

Em particular:

Corolário 7.1. Seja F um campo conservativo com potencial f , de classe C^1 e C uma curva fechada de classe C^1 , então:

$$\oint_C F = 0$$

■

Observação 7.7. Os resultados anteriores, continuam válidos se as curvas são de classe C^1 , por parte.

Exemplo 7.5.

[1] Calcule $\int_C F$, onde F é o campo de quadrado inverso:

$$F(x, y, z) = \frac{1}{(x^2 + y^2 + z^2)^{3/2}} (x, y, z)$$

e C é parametrizada por: $\gamma(t) = \left(\frac{t^4}{4}, \sin^3(\pi t), t^2 - 3t + 2\right)$, tal que $t \in [1, 2]$.

Sabemos que F é um campo conservativo com potencial:

$$f(x, y, z) = \frac{-1}{\sqrt{x^2 + y^2 + z^2}};$$

por outro lado $P = \gamma(1) = \left(\frac{1}{4}, 0, 0\right)$ e $Q = \gamma(2) = (4, 0, 0)$; logo:

$$\int_C F = f(4, 0, 0) - f\left(\frac{1}{4}, 0, 0\right) = \frac{15}{4}.$$

[2] Calcule $\int_C F$, onde $F(x, y) = (x^2, xy)$ e C a curva formada pelo arco de parábola $y = x^2$ tal que $0 \leq x \leq 1$ e pelo segmento de reta que liga $(1, 1)$ e $(0, 0)$.

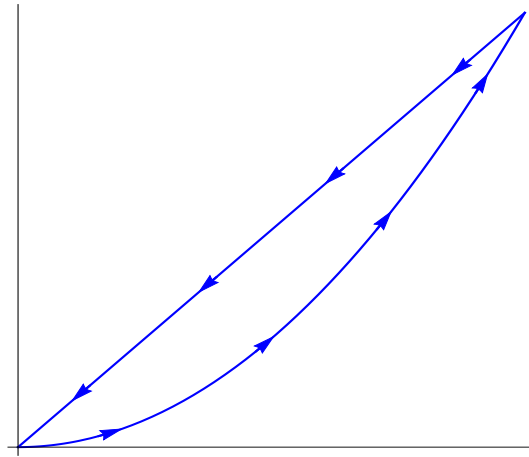


Figura 7.13: Exemplo [2]

A curva C admite uma decomposição em 2 curvas C_1 e C_2 , cada de classe C^1 . Isto é, $C = C_1 \cup C_2$, com parametrizações dadas por:

$$\gamma_1(t) = (t, t^2) \quad \text{e} \quad \gamma_2(t) = (1-t, 1-t), \quad 0 \leq t \leq 1,$$

respectivamente, então:

$$\int_C F = \int_{C_1} F + \int_{C_2} F$$

ou, equivalentemente:

$$\int_C F = \int_{C_1} F - \int_{C_2^-} F,$$

onde C_2^- é parametrizada por:

$$\gamma_2^-(t) = (t, t), \quad 0 \leq t \leq 1$$

Logo:

$$\begin{cases} F(\gamma_1(t)) \cdot \gamma_1'(t) = (t^2, t^3) \cdot (1, 2t) = t^2 + 2t^4 \\ F(\gamma_2^-(t)) \cdot (\gamma_2^-)'(t) = (t^2, t^2) \cdot (1, 1) = 2t^2, \end{cases}$$

então:

$$\begin{aligned} \int_{C_1} F - \int_{C_2^-} F &= \int_0^1 F(\gamma_1(t)) \cdot \gamma_1'(t) dt - \int_0^1 F(\gamma_2^-(t)) \cdot (\gamma_2^-)'(t) dt \\ &= \int_0^1 [t^2 + 2t^4] dt - \int_0^1 2t^2 dt \\ &= \int_0^1 [2t^4 - t^2] dt = \frac{1}{15}, \end{aligned}$$

logo:

$$\int_C F = \int_{C_1} F - \int_{C_2^-} F = \frac{1}{15}.$$

[3] Calcule: $\int_C F$, onde C é a curva obtida pela interseção das superfícies $x^2 + y^2 = 1$, $z = 4$ e F o campo radial de quadrado inverso, para $k = -1$.

A interseção das superfícies é dada pelo sistema:

$$\begin{cases} x^2 + y^2 = 1 \\ z = 4. \end{cases}$$

A superfície $x^2 + y^2 = 1$ é um cilindro circular reto; logo a interseção do cilindro com o plano $z = 4$ é um círculo de raio 1, que pode ser parametrizado por

$$\gamma(t) = (\cos(t), \sin(t), 4), \quad t \in [0, 2\pi].$$

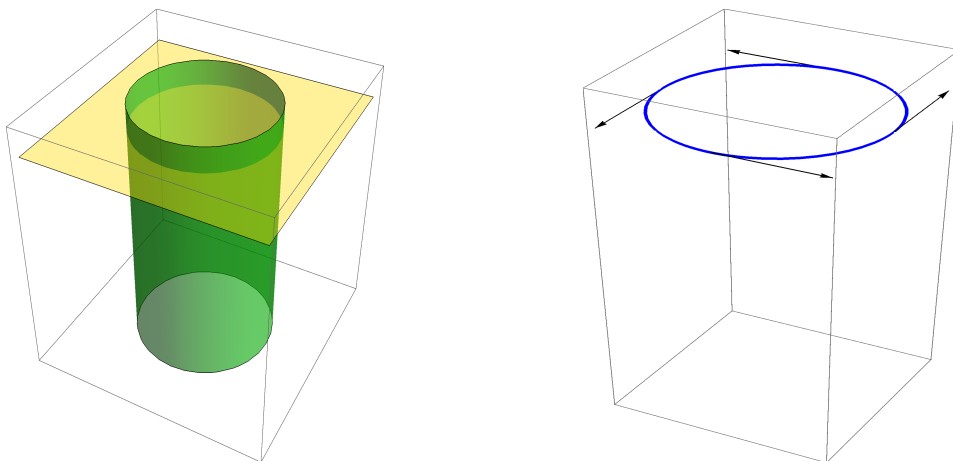


Figura 7.14: Exemplo [3]

Como F é conservativo e C é uma curva fechada; então:

$$\oint_C F = 0.$$

[4] Calcule $\int_C F$, onde $F(x, y) = (xy, x^2)$ e C é a seguinte curva:

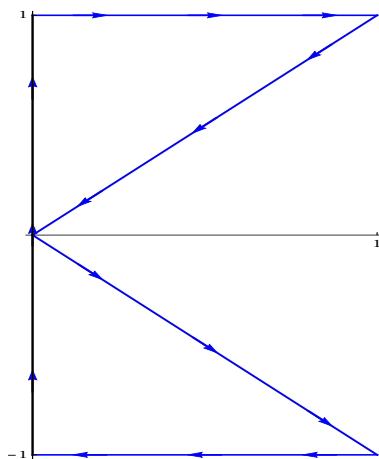


Figura 7.15: Exemplo [4]

Parametrizamos a curva por 5 segmentos de reta:

1. $\gamma_1^+(t) = (0, 2t - 1), t \in [0, 1]$. Logo, $(\gamma_1^+)'(t) = (0, 2)$.
2. $\gamma_2^+(t) = (t, 1), t \in [0, 1]$. Logo, $(\gamma_2^+)'(t) = (1, 0)$.
3. $\gamma_3^+(t) = (1 - t, 1 - t), t \in [0, 1]$. Logo, $(\gamma_3^+)'(t) = (-1, -1)$.
4. $\gamma_4^+(t) = (t, -t), t \in [0, 1]$. Logo, $(\gamma_4^+)'(t) = (1, -1)$.
5. $\gamma_5^+(t) = (1 - t, -1), t \in [0, 1]$. Logo, $(\gamma_5^+)'(t) = (-1, 0)$.

Por outro lado:

1. $F(\gamma_1^+(t)) = F(0, 2t - 1) = (0, 0)$. Então, $F(\gamma_1^+(t)) \cdot (\gamma_1^+)'(t) = 0$.
2. $F(\gamma_2^+(t)) = F(t, 1) = (t, t^2)$. Então, $F(\gamma_2^+(t)) \cdot (\gamma_2^+)'(t) = t$.
3. $F(\gamma_3^+(t)) = F(1 - t, 1 - t) = ((1 - t)^2, (1 - t)^2)$. Então, $F(\gamma_3^+(t)) \cdot (\gamma_3^+)'(t) = -2(1 - t)^2$.
4. $F(\gamma_4^+(t)) = F(t, -t) = (-t^2, t^2)$. Então, $F(\gamma_4^+(t)) \cdot (\gamma_4^+)'(t) = -2t^2$.
5. $F(\gamma_5^+(t)) = F(1 - t, -1) = (t - 1, (1 - t)^2)$. Então, $F(\gamma_5^+(t)) \cdot (\gamma_5^+)'(t) = 1 - t$.

Finalmente:

$$\int_C F = \int_{C_1^+} F + \int_{C_2^+} F + \int_{C_3^+} F + \int_{C_4^+} F + \int_{C_5^+} F,$$

donde obtemos:

$$\begin{aligned} \int_C F &= \int_0^1 0 \, dt + \int_0^1 t \, dt - 2 \int_0^1 (1 - t)^2 \, dt - 2 \int_0^1 t^2 \, dt + \int_0^1 (1 - t) \, dt \\ &= \int_0^1 [4t - 4t^2 - 1] \, dt = -\frac{1}{3} \end{aligned}$$

[5] Determine o trabalho realizado pela força $F(x, y) = \left(\frac{1}{x+2}, \frac{1}{y+3}\right)$ para deslocar uma partícula ao longo da trajetória C dada por:

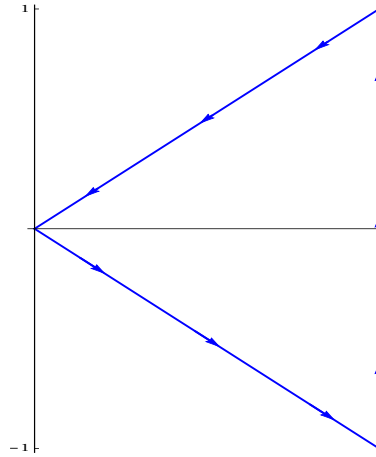


Figura 7.16: Exemplo [5]

Devemos calcular:

$$\int_C F = \int_{C_1^+} F + \int_{C_2^+} F + \int_{C_3^+} F.$$

C_1 é o segmento de reta ligando $(0, 0)$ e $(1, -1)$, parametrizado por:

$$\begin{cases} x = t \\ y = -t, \quad t \in [0, 1] \end{cases} \implies \begin{cases} dx = dt \\ dy = -dt. \end{cases}$$

Então:

$$\int_{C_1^+} F = \int_0^1 \left[\frac{1}{t+2} - \frac{1}{3-t} \right] dt = 0.$$

C_2 é o segmento de reta ligando $(1, -1)$ e $(1, 1)$, parametrizado por:

$$\begin{cases} x = 1 \\ y = 2t - 1, \quad t \in [0, 1] \end{cases} \implies \begin{cases} dx = 0 \\ dy = 2 dt. \end{cases}$$

Então:

$$\int_{C_2^+} F = \int_0^1 \frac{dt}{t+1} = \ln(2).$$

C_3 é o segmento de reta ligando $(1, 1)$ e $(0, 0)$; consideremos C_3^- que liga $(0, 0)$ e $(1, 1)$ e é parametrizado por:

$$\begin{cases} x = t \\ y = t, \quad t \in [0, 1] \end{cases} \implies \begin{cases} dx = dt \\ dy = dt. \end{cases}$$

Assim:

$$\int_{C_3} F = - \int_{C_3^-} F = - \int_0^1 \left[\frac{1}{t+2} + \frac{1}{t+3} \right] dt = -\ln(2).$$

Então: $\int_C F = \ln(2) - \ln(2) = 0.$

Por outro lado, o campo F é conservativo, com potencial :

$$f(x, y) = \ln(x+2) + \ln(y+2) + c,$$

como C é uma curva fechada de classe C^1 por partes, temos que:

$$\oint_C F = 0.$$

[6] Calcule $\int_C F$, onde C é formada pelos segmentos de retas C_1 , C_2 e C_3 que ligam os pontos $(0, 0, 0)$ a $(1, 0, 0)$; $(1, 0, 0)$ a $(1, 1, 0)$ e $(1, 1, 0)$ a $(1, 1, 1)$, respectivamente e $F(x, y, z) = (x^2 + y, -yz, xz^2)$.

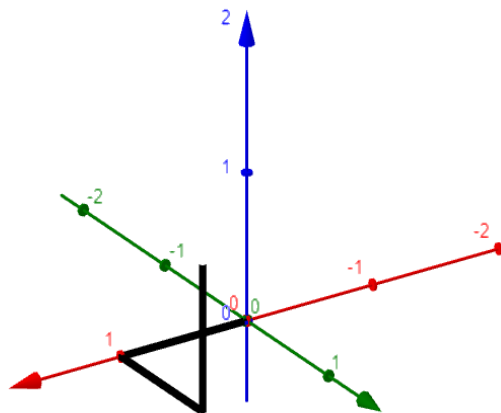


Figura 7.17: Exemplo [6]

Parametrizamos a curva:

$$C = C_1 \cup C_2 \cup C_3$$

por $\gamma, \beta, \eta : [0, 1] \longrightarrow \mathbb{R}^2$, onde:

$$\gamma(t) = (t, 0, 0), \quad \beta(t) = (1, t, 0) \quad \text{e} \quad \eta(t) = (1, 1, t).$$

Por outro lado:

$$\begin{aligned} C_1 : \quad & \gamma'(t) = (1, 0, 0) \quad \text{e} \quad F(\gamma(t)) = (t^2, 0, 0) \implies \gamma'(t) \cdot F(\gamma(t)) = t^2 \\ C_2 : \quad & \beta'(t) = (0, 1, 0) \quad \text{e} \quad F(\beta(t)) = (1 + t, 0, 0) \implies \beta'(t) \cdot F(\beta(t)) = 0 \\ C_3 : \quad & \eta'(t) = (0, 0, 1) \quad \text{e} \quad F(\eta(t)) = (2, -t, t^2) \implies \eta'(t) \cdot F(\eta(t)) = t^2; \end{aligned}$$

então:

$$\int_C F = \int_{C_1} F + \int_{C_2} F + \int_{C_3} F = \int_{C_1} F = 2 \int_0^1 t^2 dt = \frac{2}{3}.$$

[7] Calcule $\int_C F$, onde $F(x, y, z) = (x, y, z)$ e C é a curva obtida pela interseção das superfícies $x^2 + y^2 - 2y = 0$ e $z = y$.

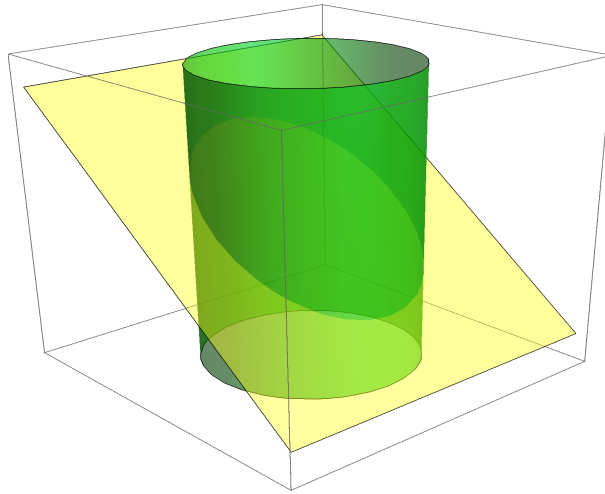


Figura 7.18: Exemplo [7]

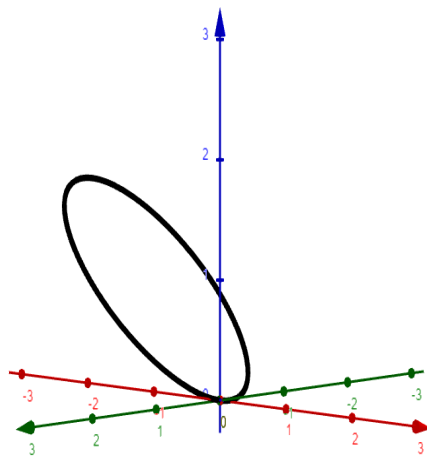
A superfície definida por $x^2 + y^2 - 2y = 0$ é um cilindro circular reto de raio igual a 1; de fato:

$$x^2 + y^2 - 2y = x^2 + (y - 1)^2 - 1$$

e $z - y = 0$ é um plano passando pela origem. A interseção é a solução do sistema:

$$\begin{cases} x^2 + y^2 - 2y = 0 \\ y = z, \end{cases}$$

donde obtemos a curva fechada $x^2 + (z - 1)^2 = 1$.

Figura 7.19: Exemplo [7], a curva C

O campo F é conservativo, com potencial:

$$f(x, y, z) = \frac{1}{2} (x^2 + y^2 + z^2);$$

logo:

$$\oint_C F = 0.$$

[8] Calcule $\int_C [y^2 + z^2] dx + [x^2 + z^2] dy + [x^2 + y^2] dz$, onde C é determinada pela interseção das superfícies $x^2 + y^2 = 2z$ e $x + y - z + 1 = 0$.

Note que $\text{rot } F \neq \vec{0}$, logo o campo F não é conservativo. A curva C é parametrizada por γ , determinada interseção de $x^2 + y^2 = 2z$ e $x + y - z + 1 = 0$:

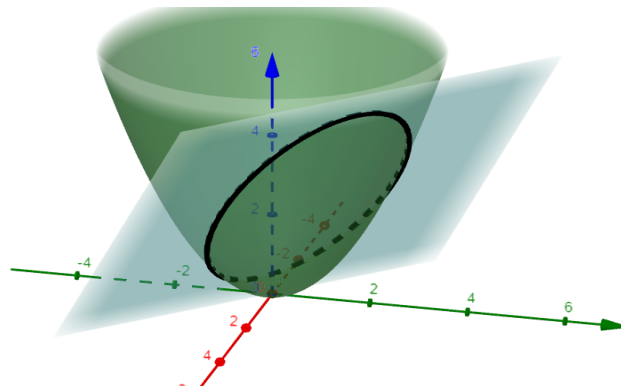


Figura 7.20: As superfícies do exemplo [8]

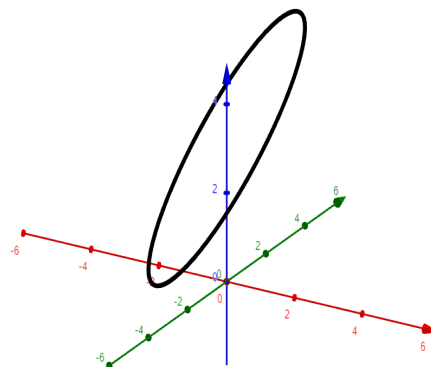
$$\begin{cases} x^2 + y^2 = 2z \\ x + y - z + 1 = 0, \end{cases} \implies z = x + y + 1,$$

então: $x^2 + y^2 = 2x + 2y + 2$, logo:

$$(x - 1)^2 + (y - 1)^2 = 4.$$

Assim, temos a parametrização de C :

$$\begin{cases} x = 2 \cos(t) + 1 \\ y = 2 \sin(t) + 1 \\ z = 2 \cos(t) + 2 \sin(t) + 3, \end{cases} \quad t \in [0, 2\pi].$$

Figura 7.21: Exemplo [8], a curva C

Logo, o vetor tangente é:

$$\gamma'(t) = (-2 \operatorname{sen}(t), 2 \cos(t), 2 \cos(t) - 2 \operatorname{sen}(t))$$

e:

$$F(\gamma(t)) \cdot \gamma'(t) = 2 [20 \cos(2t) + 21 \cos(t) + 21 \operatorname{sen}(t) + 3 \cos(3t) + 3 \operatorname{sen}(3t)].$$

Logo:

$$\int_C F = \int_0^{2\pi} F(\gamma(t)) \cdot \gamma'(t) dt = 0.$$

7.6 Exercícios

1. Calcule $\int_C f$, onde:

- (a) $f(x, y) = 2xy^2$ e C é parametrizada por $\gamma(t) = (\cos(t), \sin(t))$, $0 \leq t \leq \frac{\pi}{2}$.
- (b) $f(x, y) = x^2 + y^2$ e C é o círculo $x^2 + y^2 = 4$ de $A = (2, 0)$ a $B = (0, 2)$.
- (c) $f(x, y) = x^2 + y^2$ e C é a reta que liga os pontos $A = (2, 0)$ a $B = (0, 2)$.
- (d) $f(x, y) = \frac{x^2 - y^2}{x^2 + y^2}$ e C é o círculo $x^2 + y^2 = 4$ de $A = (2, 0)$ a $B = (-1, \sqrt{3})$.
- (e) $f(x, y, z) = e^z$ e C é parametrizada por $\gamma(t) = (1, 2, t^2)$, no intervalo $[0, 1]$.
- (f) $f(x, y, z) = x + y$ e C é a curva obtida pela interseção de $z = x^2 + y^2$, $z \leq 2$ e $x = y$, $0 \leq y$.
- (g) $f(x, y) = |x| + |y|$ e C é a reta que liga os pontos $A = (-2, 0)$ a $B = (2, 2)$.
- (h) $f(x, y) = |x| + |y|$ e C é a reta que liga os pontos $A = (2, 2)$ a $B = (2, 0)$.

2. Calcule $\int_C F$, onde:

- (a) $F(x, y) = (y + 3x, 2y - x)$ e C é a elipse $4x^2 + y^2 = 4$, percorrida no sentido anti-horário.
- (b) $F(x, y) = (xy, -y)$ e C é formado pela reta que ligando $A = (-3, -3)$ a $B = (-1, 1)$ e pelo arco da parábola $y = x^2$ de B a $C = (2, 4)$.
- (c) $F(x, y) = (y, -x)$ e C é a astróide.
- (d) $F(x, y) = (x^2 + y^2, x^2 - y^2)$ e C é o círculo centrado na origem, percorrida no sentido anti-horário.
- (e) $F(x, y, z) = (x, y, xz - y)$ e C é o segmento de reta ligando $(0, 0, 0)$ e $(1, 2, 4)$.
- (f) $F(x, y, z) = (x^2 - y^2, z^2 - x^2, y^2 - z^2)$ e C é a curva obtida pela interseção da esfera $x^2 + y^2 + z^2 = 4$ e o plano $y = 1$, percorrida no sentido anti-horário.

3. Calcule $\int_C y \, dx + x^2 \, dy$, onde C é a curva parametrizada por:

(a) $\gamma(t) = (\cos(t), \sin(t)), t \in [0, 2\pi]$

(b) O quadrado de vértices $(\pm 1, \pm 1)$

(c) O quadrado de vértices $(0, 0), (1, 0), (1, 1)$ e $(0, 1)$

4. Calcule o trabalho realizado pelo campo de força dado:

(a) $F(x, y) = (x^2 - y^2, 2xy)$ ao mover uma partícula ao longo da fronteira da região limitada por $[0, a] \times [0, a]$, $(a > 0)$.

(b) $F(x, y, z) = (y, x, z^2)$ para deslocar uma partícula ao longo da hélice:

$$\gamma(t) = (2 \cos(t), 2 \sin(t), 2t)$$

do ponto $(2, 0, 0)$ ao ponto $(2, 0, 4\pi)$.

(c) $F(x, y, z) = (y, z, x)$ para deslocar uma partícula ao longo de $\gamma(t) = (t, t^2, t^3)$ do ponto $(0, 0, 0)$ ao ponto $(2, 4, 8)$.

(d) $F(x, y) = \frac{4P(x, y)}{\|P(x, y)\|^3}$, onde P é o vetor posição, para deslocar uma partícula ao longo do círculo $x^2 + y^2 = 1$, $x > 0$, do ponto $(-1, 0)$ ao ponto $(1, 0)$.

5. Verifique que $\int_C F$ é independente do caminho, achando seu potencial, em caso afirmativo:

(a) $F(x, y) = (3x^2y, x^3 + 4y^3)$

(b) $F(x, y) = (2x \sin(y) + 4e^x, \cos(y))$

(c) $F(x, y) = (-2y^3 \sin(x), 6y^2 \cos(x) + 5)$

(d) $F(x, y, z) = (y + z, x + z, x + y)$

(e) $F(x, y, z) = (y \sec^2(x) - z e^x, \tan(x), -e^x)$

(f) $F(x, y, z) = (2xz + y^2, 2xy + 3y^2, e^z + x^2)$

6. Determine as constantes para que as integrais sejam independentes do caminho:

(a) $\int_C (y^2 - x y) dx + k (x^2 - 4 x y) dy.$

(b) $\int_C (a z^2 - y^2 \operatorname{sen}(x)) dx + b y \cos(x) dy + x z dz.$

7. Seja $F(x, y) = (x^2 y, y^2)$ e a curva C formada pela reunião dos segmentos de reta C_1, C_2, C_3 e C_4 , como na figura:

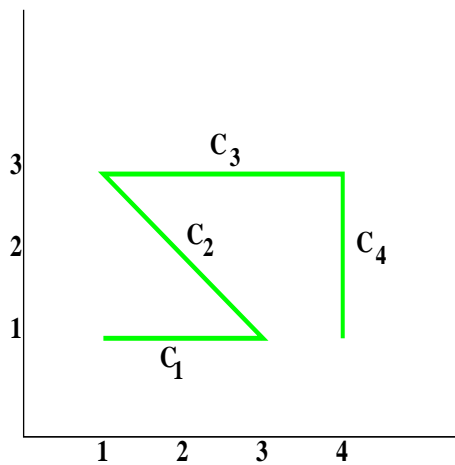


Figura 7.22:

(a) Parametrize a curva.

(b) Calcule $\int_C F$.